

* شبیه‌سازی عددی میکسر موتور با سوخت CNG و بهینه‌سازی آن*

(یادداشت پژوهشی)

پویان ادبی^(۲)

بهزاد قدیری دهکردی^(۱)

چکیده در این مقاله، شبیه‌سازی عددی جریان مخلوط هوا و گاز در میکسر موتور دوسوخته کاربراتوری توسط نرم‌افزار فلوئنت در طراحی‌های مختلف و با استفاده از شاخص پارامتر λ انجام شده است. به منظور ایجاد λ استوکیومتریک برای بهسوزی سوخت و کاهش میزان آلانیده‌ها تغییراتی در هنرمندی میکسر اولیه‌ی موتور دوسوخته پراید کاربراتوری - به عنوان نمونه - ایجاد شده است. تغییرات در قطر گلوبی، قطر سوراخ‌های ورودی گاز و تعداد آن‌ها در سرعت‌های مختلف (دورهای مختلف موتور) در نظر گرفته شده‌اند. پس از شبیه‌سازی میکسر با طراحی‌های مختلف و یافتن نحوه تأثیر هرکدام از پارامترهای ذکر شده بر میزان λ ، آن‌ها بیان را که از نظر شبیه‌سازی مناسب تشخیص داده شده‌اند. برای تأیید نتایج تئوری، ساخته و مورد تست قدرت و سنجش آلودگی قرار گرفته‌اند. نتایج تست، همگی مؤید نتایج تئوری بوده و در بهینه‌ترین حالت، طراحی مناسبی با قابلیت‌های عملکردی نزدیک به کارکرد بنزینی و کاهش درصد افت قدرت به میزان ۱۰٪ و نیز کاهش میزان آلانیده‌های CO (۰٪) و HC (۷۹٪) در خروجی حالت گازسوز نسبت به حالت بنزین سوز می‌باشند.

واژه‌های کلیدی شبیه‌سازی، میکسر، CNG، بهینه‌سازی.

Optimization and Numerical simulation of an Engine Mixer for CNG fuel

P. Adibi

B. Ghadiri Dehkordi

Abstract In this paper, Fluent software is used to study the flow behavior of methane and air in a CNG-air mixer. Analyses were carried out on various designs to investigate the effect of engine speed on the λ . The design was optimized for throat size, number and size of the holes at the throat circumference. The prototypes were manufactured based on optimized dimensions that were obtained from CFD analyses. The experiments have been done on the prototypes in order to verify the results obtained from CFD analyses. The results show that the performance of the optimized design was good and the decrease of engine power was about 10% and the pollutants such as CO and HC in the gas mode in comparison with the gasoline mode were decreased 100% and 79% respectively.

Key Words Simulation, Optimization, CNG, Mixer.

* نسخه‌ی اول مقاله در تاریخ ۸۷/۳/۲۱ و نسخه‌ی نهایی آن در تاریخ ۸۹/۲/۱۹ به دفتر نشریه رسیده است.

(۱) استادیار مکانیک، دانشگاه تربیت مدرس

(۲) نویسنده مسؤول: کارشناس ارشد مکانیک، دانشگاه تربیت مدرس

از ۸۰٪ متان و ۲۰٪ هیدروژن را مورد مطالعه قرار داده است.

همچنین تحقیقات مختلفی درباره‌ی کیت‌های تبدیل و قطعه‌ی میکسر انجام شده است. یوسف، ت. (Yusaf T.) و زمری، م. (Zamri M.) [۲] در تحقیق خود در زمینه‌ی توسعه‌ی مدل سه بعدی CFD جهت مشاهده‌ی تأثیر کیفیت اختلاط بر عملکرد موتور دیزلی گازسوز به بررسی رفتار جریان گاز و هوا در یک میکسر پرداخته‌اند. نتایج شبیه‌سازی آن‌ها نشان داده است که یک میکسر هشت سوراخه، عملکرد بهتری در مقایسه با میکسر چهار سوراخه خواهد داشت. نتایج تست میکسر ساخته شده بر روی موتور، کاهش ترکیبات آلاینده‌های خروجی از اتمبیل نظیر NO_x , CO_2 و CO نسبت به سوخت دیزل نشان می‌دهد. به کارگیری سیستم دوگانه‌سوز (با میکسر نوع ونتوری ثابت) غلظت NO_x , CO_2 و CO را به طور متوسط به ترتیب به میزان ۵۶٪، ۳۱٪ و ۵۹٪ کاهش می‌دهد. قدرت متوسط خروجی موتور دوگانه سوز ۱۰٪ بیشتر از موتور دیزلی در دورهای مورد آزمایش بوده است.

تالال ف. یوسف و همکاران [۳] نیز با به کارگیری نرمافزار CFD-ACE+ و شبیه‌سازی میکسر موتور دوگانه‌سوز گازوئیل-متان، طراحی مناسبی برای یک نمونه موتور دیزل تجاری به دست آورده‌اند. خرمفر و همکاران [۴] در تحقیق خود تحت و عنوان راهکاری برای بهینه سازی افت توان خودروهای دوگانه‌سوز ناشی از استفاده‌ی میکسر در حالت بنزین سوز استفاده از سیستم جبران کننده‌ی هوا و ورودی به موتور، برای جبران سطح مقطع پوشیده شده را توسط میکسر پیشنهاد نموده‌اند.

برای به دست آوردن میدان حل یک پدیده‌ی نسبتاً پیچیده‌ی صنعتی، بایستی یک سری ساده‌سازی‌ها اعمال شود تا حل جریان ممکن گردد. بنابراین با شبیه‌سازی، رسیدن به آنچه که واقعاً در عمل اتفاق می‌افتد، ممکن نیست، اما با ایجاد و ارائه‌ی مدل جهت حل مسائل فیزیکی با روش‌های CFD (Computational Fluid Dynamic) می‌توان شرایط واقعی را شبیه‌سازی کرد

مقدمه

با آغاز پروژه‌ی عظیم گازسوز کردن خودروها به صورت فراگیر در سال‌های اخیر به منظور کاهش مصرف فزاینده‌ی بنزین در کشور و جایگزینی آن با سوخت CNG (Compressed Natural Gas) (به دلیل پاک بودن آن و فراوانی ذخایر گاز طبیعی در کشور)، بحث دوسوخته کردن خودروهای موجود بنزینی به موازات فرآیند تولید کارخانه‌ای OEM (Original Equipment Manufacturer)، جایگاهی ویژه یافته است.

تعداد قابل توجهی از خودروهای موجود در ناوگان حمل و نقل کشور تا سال ۸۵ (زمان آغاز این تحقیق) از نوع کاربراتوری بوده‌اند و همان‌طور که می‌دانیم این خودروها جوابگوی آخرین استانداردهای سخت‌گیرانه‌ی آلایندگی نمی‌باشند، اما فراوانی این نوع خودروها در کشور و تقاضای مالکان این دسته از خودروها جهت گازسوز کردن خودروهای خود در کارگاه‌های تبدیل، انگیزه‌ای شد تا محققین این پروژه، به منظور بهینه سازی و بهبود در میزان آلاینده‌ها و کاهش مقدار افت توان ناشی از استفاده از سوخت گاز به جای بنزین، بدترین نوع موtor (کاربراتوری) و فراوان ترین آن‌ها (یعنی موtor پراید) مورد مطالعه و بررسی دقیق قرار دهند. نتایج تئوری و عملی به دست آمده، نشان‌گر این مدعای ارزشمندی این تحقیق می‌باشند.

تاکنون مطالعات زیادی در رابطه با سوخت‌های جایگزین بنزین در موتورهای احتراق داخلی انجام شده است. مطالعات عمده در رابطه با قدرت موtor در حالت استفاده از آن‌ها در مقایسه با بنزین؛ گازوئیل و نیز اثرات زیست محیطی این سوخت‌ها صورت گرفته است.

دولگر (Dulger Z) [۱] در رساله‌ی دکتری خود با عنوان مدل‌سازی عددی حرارت آزاد شده و انتشار شعله‌ی سوخت متان با هیدروژن افزوده شده به آن در موتورهای احتراق داخلی تحقیق کرده است. او ترکیبی

(جدول ۱).

جدول ۱ درصد جرمی عناصر هوا

عنصر	درصد جرمی
O ₂	۲۲/۵
N ₂	۷۵/۴
H ₂ O	۰/۶
CO ₂	۱/۵

گاز متان در مخزن ذخیره با فشار ۲۰۰ bar نگهداری می‌شود. گاز باید برای استفاده به عنوان سوخت با هوا ترکیب شده و وارد موتور شود. ابتدا در قطعه‌ای به نام رگولاتور فشار گاز به حدود ۱ bar کاهش یافته و سپس وارد میکسر می‌شود. بنابراین فشار ورودی آن ثابت و برابر فشار استاندارد اتمسفر (1bar=101325Pa) در نظر گرفته شده است.

سرعت ورودی هوا و میزان سوخت مکیده شده به میکسر، تابع موقعیت دریچه‌ی گاز است که در دورهای کارکرد معمول موتور (1000 rpm, 2000 rpm, 3000 rpm و 2800 rpm) شبیه سازی شده‌اند. پس از حل، داده‌های خروجی مختلف، نظیر دبی‌های جرمی گاز و هوا قابل استخراج می‌باشند.

خواص جریان

۱- جریان غیر واکنشی: در این پروژه، فرض می‌شود که مخلوط CNG و هوا هیچ گونه برهم‌کنشی با هم ندارند و فقط این دو سیال در میکسر با یکدیگر مخلوط می‌شوند.

۲- جریان تراکم‌پذیر: جریان مدل شده در این پروژه یک جریان تراکم‌پذیر است؛ بنابراین چگالی سیال ثابت نیست. از آنجایی که در این پروژه معادله‌ی تصحیح فشار و چگالی مورد نیاز برای هر سیال می‌تواند بر مبنای جزء فشار یا جرم مشخصه‌ها محاسبه؛ زیرا که این مشخصه‌ها به عنوان مقادیر ورودی شرایط اولیه وارد می‌شوند.

۳- جریان پایا (Steady): در این تحقیق فرض می‌شود که جریان هوا و گاز در میکسر دائمی بوده و به زمان وابسته نمی‌باشد.

که نتایج آن قابل اعتماد خواهند بود. در این مقاله ابتدا به شبیه‌سازی و حل عددی میکسر موجود پرداخته شده است؛ سپس با تغییر پارامترهای هندسی میکسر، شبیه‌سازی انجام می‌شود تا طراحی بهینه و مطلوب به دست آید.

مطالعه و بررسی پارامترهای مؤثر بر طراحی
به منظور یافتن پارامترهای مؤثر در طراحی میکسر، تمرکز بر پارامترهای هندسی (Geometrical Parameters) نظیر طول، قطر گالوی (Throttle Diameter) و قطر سوراخ‌های ورودی سوخت و تعداد آن‌ها می‌باشد. از آن‌جا که بازده سوخت، مستقیماً به درجه‌ی همگنی مخلوط گاز و هوا بستگی دارد، باید از همگنی مخلوط قبل از ورود به محفظه‌ی احتراق، مطمئن شد.

شبیه‌سازی میکسر

پس از اندازه‌گیری میکسر و یافتن مختصات نقاط مهم آن، مدل اولیه در پیش‌پردازندۀ گمیت (Gambit) ترسیم می‌شود. بایستی که شبکه‌ی حل جواب‌های همگرا و با دقت مطلوب داده و جوابها مستقل از اندازه‌ی گریدها باشند. استقلال میدان حل از اندازه گریدها با چندبار حل کردن مسئله در شبکه‌های مختلف که با ریز کردن شبکه اولیه حاصل شده‌اند، به دست می‌آید (Grid Independence). در واقع زمانی که میدان حل با ریزکردن شبکه تغییری نکند، اندازه‌ی گریدها قابل قبول است. در نهایت شبکه بندی حجم با عناصر هگز (Hex) و نوع مپ (Map) و فاصله‌ی بین عناصر (Interval Size) برابر ۰/۲۵ میلی‌متر جهت حل جریان شبیه‌سازی شده به حل کننده‌ی فلوئنت صادر می‌شود. پس از خواندن شبکه در فلوئنت و تعریف شرایط مرزی و کارکردی برای آن - که در ادامه توضیح داده خواهد شد - حل میدان جریان در میکسر آغاز می‌شود.

فرضیات

فرض می‌شود که هوا شامل عناصر ذیل باشد

که:
 p : چگالی سیال،
 τ_{ij} : مؤلفه‌های کارتزین آم و زام سرعت لحظه‌ای،
 p : فشار استاتیک،
 τ_{ij} : تانسور تنش،
 ρg_i : نیروی جسمی گرانشی،
 F_i : نیروی جسمی خارجی از فاز دیگر در جهت i
 تانسور تنش در معادله‌ی (۲) برابر است با:

$$\tau_{ij} = \mu \left(\frac{\partial u_i}{\partial x_j} + \frac{\partial u_j}{\partial x_i} \right) - \frac{2}{3} \mu \left(\frac{\partial u_k}{\partial x_k} \right) \delta_{ij} \quad (3)$$
 μ : ویسکوزیته دینامیکی سیال،
 δ_{ij} : دلتای کرانکر،

توجه کنید که ترم دوم در سمت راست معادله‌ی (۳) تأثیر اتساع حجمی را نشان می‌دهد. با جانشانی معادله‌ی (۳) در معادله (۲) معادله ناویراستوکس حاصل می‌شود:

$$\frac{\partial}{\partial t} (\rho u_i) + \frac{\partial}{\partial x_j} (\rho u_i u_j) = - \frac{\partial p}{\partial x_i} + \frac{\partial}{\partial x_j} \left\{ \mu \left(\frac{\partial u_i}{\partial x_j} + \frac{\partial u_j}{\partial x_i} \right) - \frac{2}{3} \mu \left(\frac{\partial u_k}{\partial x_k} \right) \delta_{ij} \right\} + \rho g_i + F_i \quad (4)$$

معادله‌ی بقای انرژی. معادله‌ی دیفرانسیل پاره‌ای بقای انرژی به صورت زیر تعریف می‌شود:

$$\frac{\partial}{\partial t} (\rho e) + \frac{\partial}{\partial x_i} [u_i (\rho e + p)] = \frac{\partial}{\partial x_i} \left[k_{eff} \frac{\partial T}{\partial x_i} - \sum_j h_j J_j + u_j (\tau_{ij})_{eff} \right] + S_h \quad (5)$$

که:
 $k_{eff} = k + k_t$

$k_t = \text{هدایت حرارتی توربولانس،}$

$k_{eff} = \text{هدایت مؤثر،}$

$J_j = \text{شار دیفیوژن مشخصه } j$

S_h : منابع حرارتی حجمی تولیدی مثل حرارت واکنش شیمیایی،

$h = \text{انتالپی محسوس،}$

۴- تغییرات دما: به دلیل تراکم‌پذیر بودن جریان، خواص سیال، مانند: چگالی، ظرفیت گرمایی ویژه و... وابسته به دما بوده و متغیر می‌باشند.

معادلات حاکم

روش دینامیک سیالات محاسباتی (CFD) در فلوئنت از معادلات دیفرانسیل پاره‌ای (PDE) در فرم $\frac{\partial}{\partial t} (\rho u_i) + \frac{\partial}{\partial x_j} (\rho u_i u_j) = - \frac{\partial p}{\partial x_i} + \frac{\partial}{\partial x_j} \left\{ \mu \left(\frac{\partial u_i}{\partial x_j} + \frac{\partial u_j}{\partial x_i} \right) - \frac{2}{3} \mu \left(\frac{\partial u_k}{\partial x_k} \right) \delta_{ij} \right\} + \rho g_i + F_i$ (معادله (۱)) استفاده می‌کند. از جمله متغیرهای جریان برای محاسبه و شبیه‌سازی در تحلیل‌ها به کار می‌رود، عبارتند از: جرم، مومنتوم، انرژی، تراکم گونه‌ها (Species Concentration)، مقادیر توربولانسی و اجزاء مخلوط (Mixture Fractions). بنابراین معادلات حاکم که در این تحلیل استفاده می‌شوند عبارتند از: معادلات بقای جرم، مومنتوم، انرژی و معادلات توربولانس.

معادله‌ی بقای جرم. معادله‌ی پیوستگی یا معادله بقای جرم برای هر جریان سیال به فرم زیر بیان می‌شود:

$$\frac{\partial \rho}{\partial t} + \frac{\partial}{\partial x_j} (\rho u_j) = m \quad (1)$$

که:
 ρ : چگالی سیال،
 τ_{ij} : مؤلفه‌ی کارتزین زام سرعت لحظه‌ای،
 m : نرخ تولید جرم ماده در سیستم،
 معادله‌ی مذکور، برای سیالات تراکم‌پذیر و تراکم‌ناپذیر معتبر است. علاوه بر نرخ جرم تولیدی در سیستم، m می‌تواند بعنوان جرم اضافه شده به فاز پیوسته از فاز دومی نظری قطرات بخار مایع و هر منبع دیگر مشخص شده توسط کاربر، تعریف شود.

معادله‌ی بقای مومنتوم. بقای مومنتوم در جهت i در مختصات مرجع اینرسی به صورت زیر بیان می‌شود:

$$\frac{\partial}{\partial t} (\rho u_i) + \frac{\partial}{\partial x_j} (\rho u_i u_j) = - \frac{\partial p}{\partial x_i} + \frac{\partial \tau_{ij}}{\partial x_j} + \rho g_i + F_i \quad (2)$$

که:

G_k : تولید انرژی جنبشی توربولانس وابسته به گرادیان‌های سرعت متوسط برابر است با:

$$-\rho \overline{u'_i u'_j} \frac{\partial u_i}{\partial x_i} \quad (10)$$

G_b : نرخ انرژی جنبشی مغشوش به علت شناوری برابر است با:

$$\beta g_i \frac{\mu_t}{Pr_t} \frac{\partial T}{\partial x_i} \quad (11)$$

برای گاز ایده‌آل داریم:

$$\beta = -\frac{1}{\rho} \left(\frac{\partial \rho}{\partial T} \right)_p$$

$$G_b = -g_i \frac{\mu_t}{\rho Pr_t} \frac{\partial \rho}{\partial x_i} \quad (12)$$

Pr_t : عدد پرانتل مغشوش (برای انرژی برابر ۰/۸۵ درنظر گرفته می‌شود).

Y_M : انساط نوسانی در توربولانس تراکم پذیر به نرخ اتلاف کلی است و برابر است با:

$$\rho \epsilon^2 M_t^2 \quad (13)$$

$$M_t = \sqrt{\frac{k}{a^2}} \quad (\text{عدد ماخ مغشوش}),$$

سرعت صوت، a

C_{1e} & C_{2e} : ثابت‌های می‌دهد (طبق تعریف بهتریب ۱/۶۴ و ۱/۹۲)

$$C_{3e} = \tanh \left| \frac{v}{u} \right|$$

v : مؤلفه‌ی عمودی سرعت سیال،

u : مؤلفه‌ی افقی سرعت سیال،

σ_k & σ_ϵ : ثابت‌های بی بعد k و ϵ و طبق تعریف به-

ترتیب ۱/۳ و ۱/۰.

V : حجم سلول

e: انرژی کل مخصوص؛

$$T_{ref} = 298/15 K \quad h_j = \int_{T_{ref}}^T c_p,j dT$$

سه جمله‌ی اول سمت راست معادله‌ی (۵)، نشان دهنده‌ی انتقال انرژی به علت هدایت، دیفیوژن مشخصه‌ها و متناسب آن، توزیع ویسکوزیته می‌باشد. همچنین از معادلات (۶) و (۷)، انرژی کل محسوس و انتالپی محسوس به صورت ذیل تعریف می‌شوند:

$$e = h - \frac{p}{\rho} + \frac{u_i^2}{2} \quad (6)$$

انتالپی محسوس برای گاز ایده‌آل:

$$h = \sum_j m_j h_j \quad (7)$$

معادله‌ی توربولانس. جریان مغشوش با میدان سرعت نوسانی توصیف می‌شود. نوسانات، باعث اغتشاش در کمیت‌های مومنتوم، انرژی و غلظت مشخصه‌ها می‌شوند. در فلوئنت، جریان مغشوش به روش‌های مختلفی بسته به نوع مسئله می‌تواند مدل شود. در این تحقیق از مدل $-k$ استاندارد استفاده شده است. به طور کلی، این مدل از دو معادله‌ی دیفرانسیل پاره‌ای انتقالی، استفاده می‌کند، یعنی انرژی جنبشی توربولانس انتقالی (k) و نرخ توزیع آن (ϵ). فرض می‌شود که سیستم جریان، کاملاً مغشوش بوده و تأثیر ویسکوزیته مولکولی ناچیز باشد. معادلات انتقال برای انرژی جنبشی انتقالی (k) و نرخ توزیع آن (ϵ) در ذیل تعریف شده‌اند:

$$\rho \frac{Dk}{Dt} = \frac{\partial}{\partial x_i} \left[\left(\mu + \frac{\mu_t}{\sigma_t} \right) \frac{\partial k}{\partial x_i} \right] + G_k + G_b - \rho \epsilon - Y_M \quad (8)$$

$$\rho \frac{D\epsilon}{Dt} = \frac{\partial}{\partial x_i} \left[\left(\mu + \frac{\mu_t}{\sigma_\epsilon} \right) \frac{\partial \epsilon}{\partial x_i} \right] + C_{1e} \frac{\epsilon}{k} (G_k + G_{3e} G_b) - C_{2e} \rho \frac{\epsilon^2}{k} \quad (9)$$

روند شبیه‌سازی

مشخصات هندسی میکسر مورد استفاده. مقطع میکسر مورد بحث به همراه اندازه‌های مهم اولیه در طراحی آن در شکل (۱) و جدول (۲) نشان داده شده‌اند.

گردد [۵]

$$Q_a = D_r \times N \times V_d \quad (\text{m}^3/\text{s}) \quad (15)$$

نسبت تحويل نشانده‌ی میزان هوایی است که به درون موتور کشیده شده و به صورت زیر تعریف می‌شود:

$$\frac{\text{حجم هوای ورودی به موتور در هر سیکل}}{\text{چگالی هوای جابجا شده}} = \text{نسبت تحويل}$$

نسبت تحويل در موتورهای مختلف، متفاوت است و بین $0.85\text{--}1.0$ در موتورهای تنفس طبیعی تا $1/5$ در موتورهای سوپرشارژ متغیر است.

در میکسر مورد بحث با توجه به مشخصات هندسی اشاره شده و نیز در نظر گرفتن حداقل D_r هوای ورودی به موتور در سرعت N عبارت است از:

- حجم جابه‌جایی در موتور پراید، برابر 1323cc است و:

$$Q_a = 0.85 \times \frac{N}{60} \times 2\pi \times 1323 \times 10^{-6} = 1.18 \times 10^{-4} \text{ N}$$

با توجه به قطر ورودی هوای سرعت آن عبارتست از:

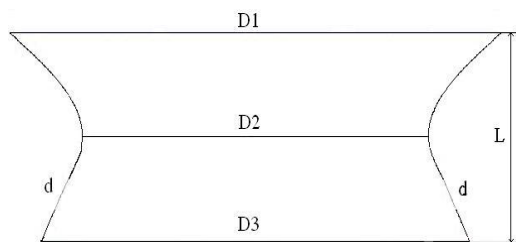
$$D_1 = 43.6\text{mm} = 43.6 \times 10^{-3} \text{m} \Rightarrow V_a = \frac{Q_a}{\pi/4 D_1^2} = 0.079 \text{N}$$

بنابراین سرعت ورودی هوای در دورهای مختلف به قرار زیر است:

$N(\text{rpm})$	۱۰۰۰	۲۰۰۰	۲۸۰۰	۳۰۰۰
$V_a(\text{m/s})$	۷۹	۱۵۸	۲۲۱	۲۳۷

شرط مرزی ورود سوخت، فشار استاتیک ثابت می‌باشد. با فرض ثابت ماندن فشار خروجی از رگولاتور، فشار استاتیک ورودی به میکسر، برابر $(101325\text{Pa})1\text{bar}$ درنظر گرفته می‌شود.

نمودار داده‌های حاصل از شبیه‌سازی حروف و علایم اختصاری به کار رفته به شرح ذیل می‌باشد:



شکل ۱ مقطع میکسر

جدول ۲ اندازه‌های میکسر اولیه

قطر ورودی هوای (D_1)	۴۳/۶mm
قطر گلوبی میکسر (D_2)	۳۱mm
قطر ورودی گاز (d)	۲/۵mm
قطر خروجی میکسر (D_3)	۳۸mm
طول میکسر (L)	۱۵/۲mm
تعداد سوراخهای ورودی گاز (n)	۲۰

همان‌طور که از شکل (۱) قابل مشاهده است، میکسر، دارای ۵ اندازه‌ی مهم هندسی می‌باشد که قابل تغییر است؛ البته دو اندازه‌ی D_1 و D_3 به دلیل این‌که وابسته به اندازه‌ی فیلتر هوای ورودی در بالا و کاربراتور در پایین می‌باشد، ثابت فرض می‌شود. کارکرد مطلوب میکسر زمانی است که نسبت اختلاط سوخت و هوای مناسب باشد (حدود $1/5$). این نسبت به نسبت استوکیومتری معروف بوده و به صورت زیر تعریف می‌شود:

$$\lambda = \frac{(A/F)_a}{(A/F)_s} \quad (14)$$

کسر فوق، نسبت هوای سوخت در شرایط واقعی سیستم را به حالت ایده‌آل یا استوکیومتری نشان می‌دهد. این نسبت، بیان کننده‌ی عملکرد موتور و انحراف آن از حالت استوکیومتری می‌باشد.

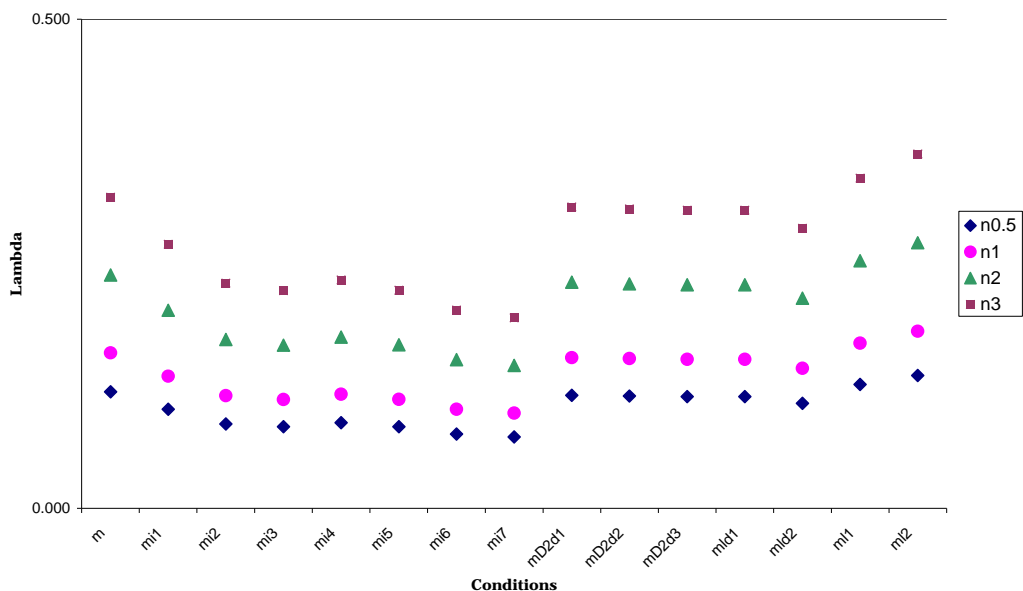
شرایط مرزی. دبی هوای ورودی مورد نیاز موتور (Q_a) وابسته به دور موتور (N)، حجم جابه‌جا موتور (D_r) (Displacement) و نسبت تحويل (V_d) (Delivery Ratio) می‌باشد و به صورت زیر محاسبه می‌شود:

جمع‌بندی نتایج

پس از شبیه‌سازی و حل جریان در میکسر موجود، این گونه نتیجه‌گیری می‌شود که میزان سوت و رودی به ازای هوای ورودی در کارکرد نرمال و معمول موتور که در شرایط شبیه‌سازی اعمال شد، کافی نمی‌باشد و بایستی به نحوی مقدار آن را افزایش داد. راههای افزایش گاز ورودی، شامل افزایش قطر و تعداد سوراخ‌های ورودی گاز و کاهش قطر و نتوری میکسر، جهت مکش بیشتر گاز به دلیل افزایش افت فشار ناشی از آن می‌باشد. تمامی عوامل فوق، شبیه‌سازی شده‌اند. در شکل‌های (۲ تا ۵) نمودار مقادیر λ بر حسب شرایط حاصل از ۲۴۰ حالت مختلف شبیه‌سازی، آورده شده‌اند.

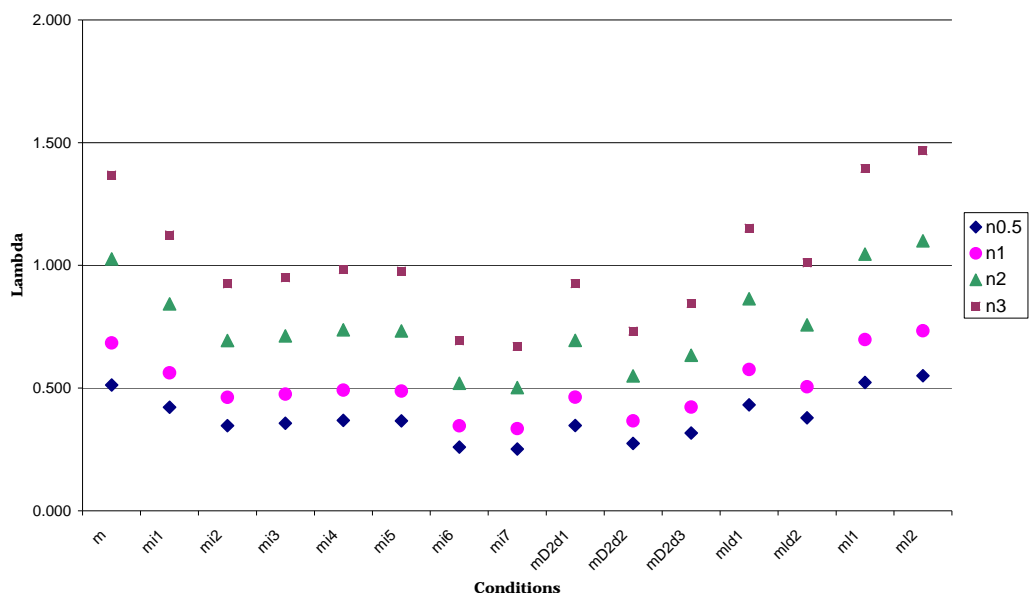
L: طول میکسر،
 D_2 : قطر گلوبی،
s: فاصله‌ی بین سوراخ‌ها،
d: قطر سوراخ ورودی گاز،
n: تعداد سوراخ‌های ورودی.
جهت تنوع در طراحی، فاصله‌ی بین سوراخ‌های ورودی گاز، ضریبی از قطر آن‌ها درنظر گرفته شده است و با نامهای $n0/5$, $n1$, $n2$, $n3$ و $n0.5$ که به ترتیب بیانگر مقدار فاصله 2/2, d, d, 2d و 3d می‌باشند، مشخص شده‌اند. تعداد سوراخ‌ها، بسته به اندازه‌ی قطر و فاصله‌ی بین دو سوراخ متواالی و میزان فضای موجود بعد از ونتوری به دست می‌آید. سوراخ‌های ورودی گاز به صورت متقابله پیرامون میکسر قرار می‌گیرند.

Lambda vs Conditions(1000rpm)

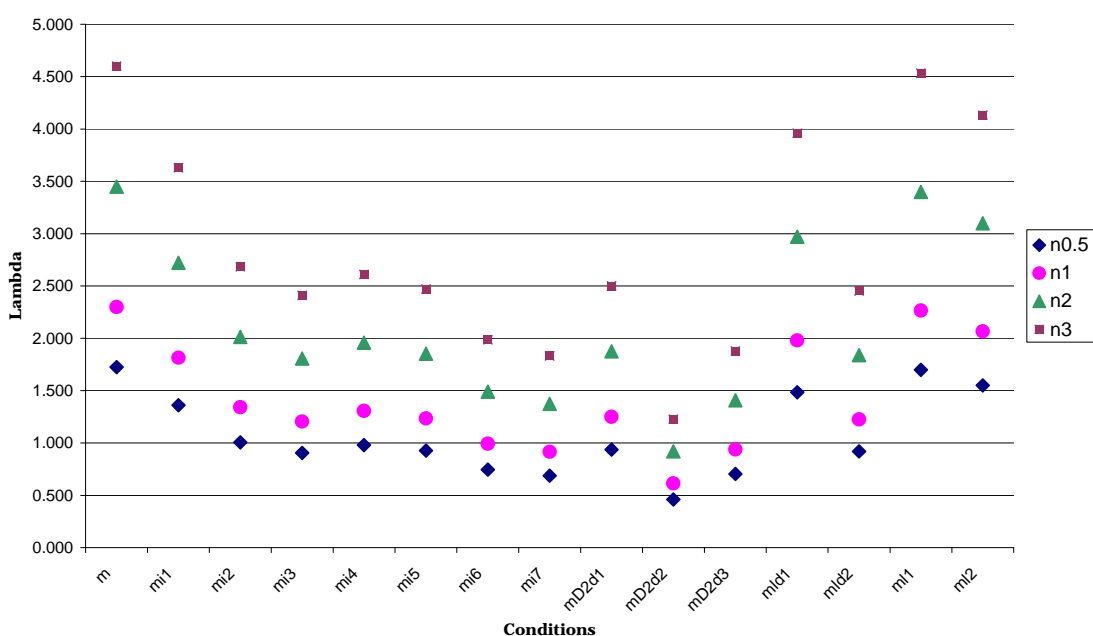


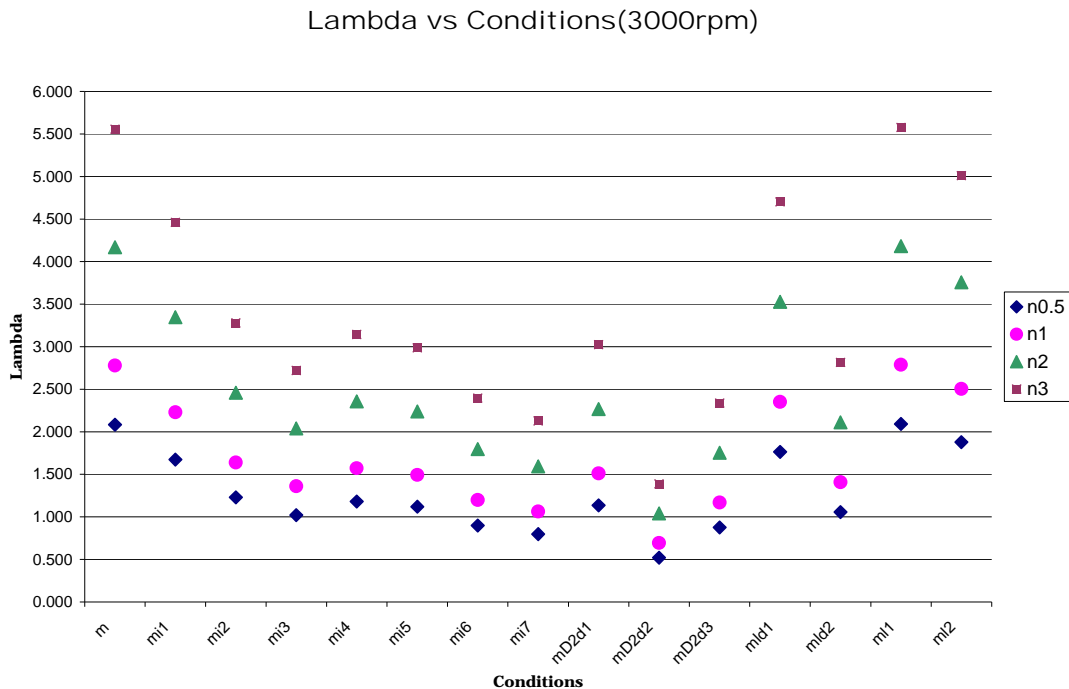
شکل ۲ نمودار λ بر حسب حالت‌های مختلف شبیه‌سازی در دور 1000rpm

Lambda vs Conditions(2000rpm)

شکل ۳ نمودار λ بر حسب حالت‌های مختلف شبیه‌سازی در دور 2000rpm

Lambda vs Conditions(2800rpm)

شکل ۴ نمودار λ بر حسب حالت‌های مختلف شبیه‌سازی در دور 2800rpm

شکل ۵ نمودار λ بر حسب حالت‌های مختلف شبیه‌سازی در دور 3000rpm

ساخت نمونه‌های میکسر

جهت تأیید نتایج حاصل از شبیه‌سازی حالات مختلف طراحی میکسر، لازم است که چندین نمونه میکسری که طبق داده‌های تئوری مناسب هستند به منظور آزمایش ساخته شوند. همانگونه که پیش از این نیز ذکر شد، میکسری مناسب است که نسبت هوا به سوخت استوکیومتری را به لحاظ تئوری فراهم کند. از آنجایی که مخلوط هوا و گاز جهت احتراق در موتور، در میکسر آماده می‌شود، لذا بایستی از اختلاط مناسب هوا و گاز پیش از ورود به موتور مطمئن شد که این مهم با سنجش پارامتر λ ارزیابی می‌شود. با توجه به این که تحقیق حاضر درخصوص قطعه میکسر از سیستم سوخت رسانی خودرو می‌باشد، لذا جهت بررسی میکسر و عدم بررسی سیستم سوخت رسانی با جزئیات کامل، تأثیر کلیه کنترلرهای نسبت سوخت و هوا در مدار سوخت رسانی، در میکسر سنجیده شده‌است.

از نمودارهای فوق، نتایج زیر حاصل می‌شود:

۱. قطر سوراخ ورودی گاز و تعداد آن‌ها تأثیر مهم و اصلی را بر نسبت استوکیومتری می‌گذارند و عمدی تغییرات، حول این دو پارامتری باشند. اندازه‌های d و n با λ نسبت عکس دارند.
۲. قطر گلوبی میکسر نیز تأثیر قابل ملاحظه‌ای بر مقدار λ دارد. مقدار D_2 با λ نسبت مستقیم دارد.
۳. هرچه طول میکسر بیشتر باشد، همگنی مخلوط سوخت و هوا بهتر می‌شود؛ زیرا زمان اختلاط افزایش می‌یابد؛ اما تغییر زیاد در طول، می‌تواند باعث ایجاد اشکال در جانمایی میکسر در مدار سوخت رسانی گردد. بنابراین برای جلوگیری از ایجاد مشکلات احتمالی، طول ثابت درنظر گرفته شده است.

میکسر شده و به دلیل افزایش اغتشاش میزان اختلاط بهبود خواهد یافت؛ البته کاهش قطر سوراخ ورودی گاز به لحاظ عملی، چه در مرحله‌ی ساخت و چه در مرحله‌ی تست، با مشکلاتی روبه‌رو خواهد شد. بنابراین برای d بایستی حداقلی درنظر گرفت که این موضوع با ساخت میکسر حالت دوم و تست آن مشخص می‌شود. به لحاظ ساخت قطعه‌ی میکسر، حداقل قطر مته به کار گرفته، 1mm می‌باشد که این اندازه قابلیت ایجاد سوراخی به اندازه‌ی $1/2$ میلی‌متر خواهد داشت.

طراحی $md2$ نیز با $1 \cong \lambda$ در محدوده‌ی سرعت مورد بحث، مناسب می‌باشد. البته این طراحی به دلیل ملاحظات ساخت با تغییری در تعداد سوراخ‌ها (۳۶) به (۳۰) و اندازه‌ی d ($1/5$ به $1/7$) مواجه می‌شود. این طراحی به نام حالت سوم در جدول ۳ نشان داده شده است

حالت $mD2d2$ با $1 \cong \lambda$ در دور 3000rpm در بین حالت‌هایی که با کاهش قطر ونتوری به طراحی بهینه نزدیک شده‌اند؛ بهترین حالت می‌باشد. این طراحی نیز با نام حالت چهارم در جدول (۳) نشان داده شده است. حال با توجه به موارد فوق و نتایج حاصل از شبیه‌سازی و درنظر گرفتن ملاحظات ساخت، میکسرهای ذیل ساخته شده و مورد تست قرار گرفته خواهند شد؛ میکسرهای ساخته شده فلزی که جنس آن‌ها از آلومینیوم می‌باشد. (جدول ۳)

است. هم‌چنین به دلیل این‌که هدف این تحقیق، کاهش کیفی و کمی آلینده‌ها و نیز کاهش در افت قدرت موتور نسبت به حالت اولیه بوده است؛ لذا فرض فوق شرایط تحلیل و بهینه سازی میکسر را دشوارتر نموده است.

معیار انتخاب میکسر برای ساخت و تست. معیار انتخاب میکسر مناسب و بهینه مقدار λ ، عملکرد آن در دورهای معمول کارکرد موتور، یعنی دورهای 2800rpm و 3000rpm و 2000rpm و 1000rpm کارکرد موtor در حالت بی‌بار و گذار به دور بالا می‌باشند؛ جهت بررسی روند بهبود نسبت هوا به سوخت نسبی مورد تحلیل و شبیه‌سازی قرار گرفته‌اند. طراحی‌های $n=6$ و $mi=7$ در حالت 10 و دورهای 2800rpm و 3000rpm ، حالت $n=2$ و دور 2800rpm ، حالت $n=0.5$ دور 3000rpm و بـ $\lambda \cong 1$ نشان‌دهنده‌ی طراحی مناسب می‌باشند. چون حالت‌های فوق، تفاوت اندکی در اندازه‌ی قطر سوراخ ورودی گاز دارند، میکسری تحت عنوان حالت اول در جدول (۳) با درنظر گرفتن ملاحظات ساخت و اندازه‌های دو طراحی $mi=6$ و $mi=7$ ، ساخته شده است. با ریزتر شدن قطر سوراخ ورودی گاز و در پی آن، افزایش تعداد آن‌ها، سوخت با سرعت بالاتری وارد

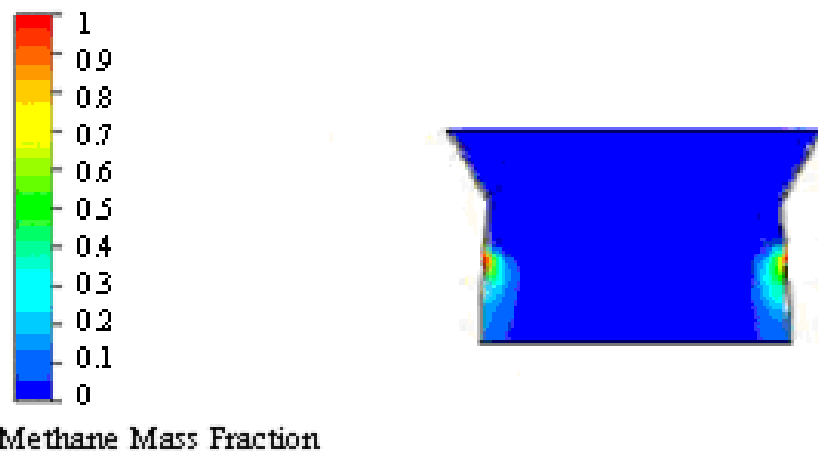
جدول ۳ اندازه‌ی هندسی میکسرهای ساخته شده

حالت	تغییر هندسه	L (mm)	D ₂ (mm)	d (mm)	n
۱	افزایش قطر سوراخ ورودی گاز	۱۵/۲	۳۱	۴/۶	۱۰
۲	افزایش تعداد سوراخ‌های ورودی گاز با کاهش قطر ورودی گاز	۱۵/۲	۳۱	۱/۲	۳۰
۳	افزایش تعداد سوراخ‌های ورودی گاز با کاهش قطر ورودی گاز	۱۵/۲	۳۱	۱/۷	۳۰
۴	کاهش قطر گلوبی	۱۵/۲	۲۵	۲/۵	۱۲

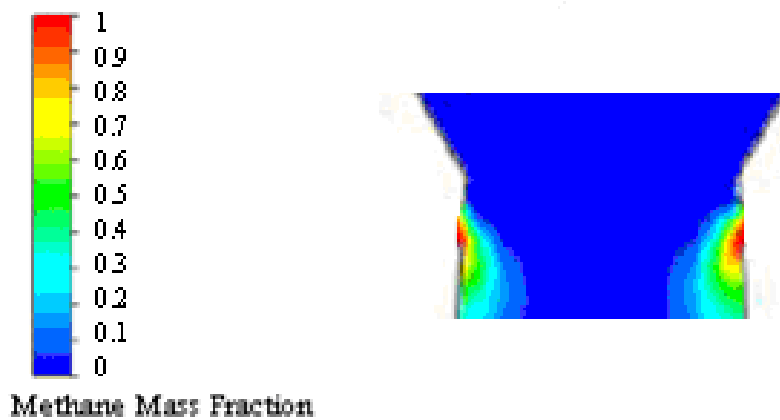
سوخت یش از ورود به موتور مطمئن بود.
برای ایجاد مخلوطی همگن بايستی که مقدار و سرعت گاز ورودی به میکسر مناسب باشد. این دو عامل، مستقیماً به تعداد و قطر سوراخ‌های ورودی گاز بستگی دارد. در ادامه، کانتورهای نسبت حجمی سوخت متان به کل مخلوط در میکسرهای بهیه به لحاظ تئوری در دور 3000rpm آورده شده است (شکل‌های ۶ تا ۱۰).

کانتورهای نسبت اختلاط

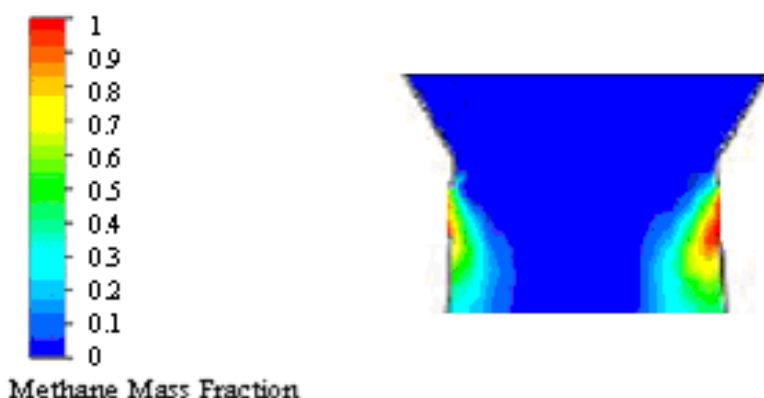
یک میکسر بايستی علاوه بر فراهم نمودن نسبت هوا به سوخت استوکیومتری برای موتور، توانایی ایجاد مخلوطی همگن از هوا و متان را نیز داشته باشد. مخلوط همگن باعث کارکرد روان موتور خواهد شد. زمانی که λ در محدوده مجاز بوده، ولی اختلاط هوا و سوخت غیرهمگن باشد، مخلوط ورودی به موتور، علی‌رغم نسبت هوا به سوخت مناسب، مفید نخواهد بود و لذا بايستی از همگنی مخلوط هوا و



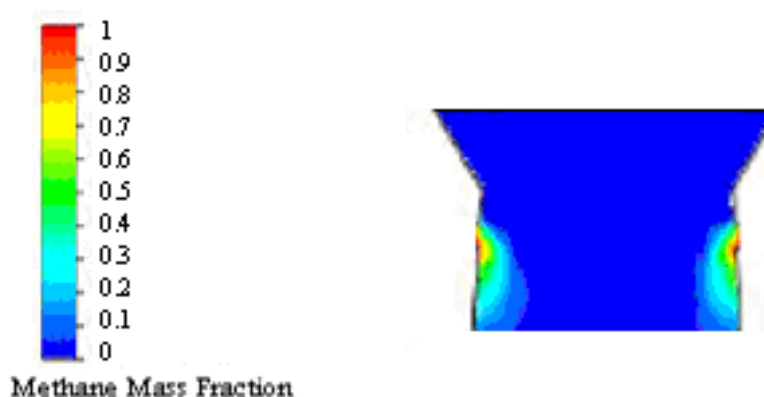
شکل ۶ کانتور نسبت گاز متان به کل مخلوط در میکسر اولیه در دور 3000rpm



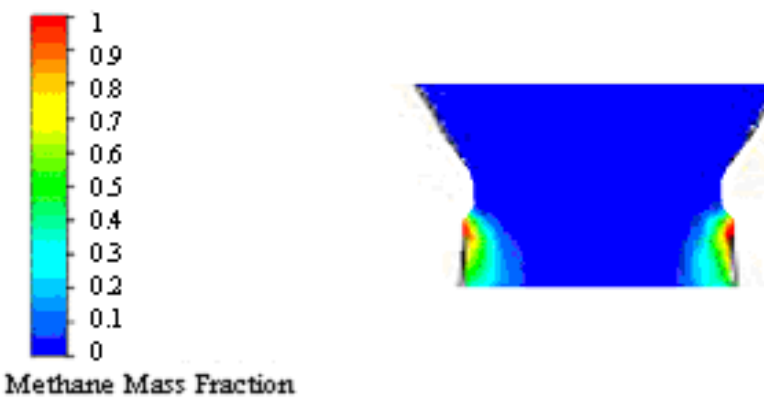
شکل ۷ کانتور نسبت گاز متان به کل مخلوط در میکسر حالت اول در دور 3000rpm



شکل ۸ کانتور نسبت گاز متان به کل مخلوط در میکسر حالت دوم در دور 3000rpm



شکل ۹ کانتور نسبت گاز متان به کل مخلوط در میکسر حالت سوم در دور 3000rpm



شکل ۱۰ کانتور نسبت گاز متان به کل مخلوط در میکسر حالت چهارم در دور 3000rpm

ورودی گاز و در پی آن افزایش سرعت ورودی، همگنی مخلوط در بهترین حالت قرار می‌گیرد. ولی همان‌گونه که در قسمت تست ذکر خواهد شد، این میکسر به دلیل ریزبودن d و نداشتن شتاب اولیه، مورد کاربرد نخواهد بود.

از شکل‌های فوق، نتایج زیر حاصل می‌شود:

- ۱- در حالت اول به دلیل افزایش اندازه d و ورود سوخت بیشتر، میزان نفوذ متan بیشتر شده و همگنی مخلوط را افزایش می‌دهد.
- ۲- در حالت دوم، به دلیل ریزتر شدن سوراخ‌های

می باشد. این آزمایشگاه شامل امکانات شاسی دینامومتر به همراه کامپیوتر متصل به آن برای ثبت داده‌های آزمایش در محیط نرمافزار موتوراسکن و دستگاه سنجش آلاینده‌های خروجی از اگزووز خودرو می باشد.

نرمافزار موتوراسکن، برای ثبت قدرت اندازه‌گیری شده‌ی موتور خودرو در سرعت‌های معین به کار می رود. محیط این نرمافزار، ساده بوده و قدرت موتور را تا دقیقه ۱kW در محدوده سرعت‌های ۷۰km/hr تا ۱۲۰km/hr به ازای هر ۱۰km/hr ثبت می نماید. اعداد ثبت شده، قابلیت ذخیره و چاپ را دارا می باشند.

به منظور سنجش درصد آلاینده‌های خروجی اگزووز، از دستگاه تحلیل گر آلودگی خودرو استفاده شده است. این دستگاه، توسط یک پرورب (Probe) که درون اگزووز خودرو قرار داده می شود؛ آلاینده در حالت کارکرد درجای موتور، میزان و درصد گازهای خروجی نظیر CO, CO₂, HC و O₂ را به ترتیب بر حسب درصد جرمی (دقیقه ۰/۰۱ واحد)، ppm (با دقیقه ۱ واحد)، درصد جرمی (دقیقه ۰/۰۱ واحد) و درصد جرمی (دقیقه ۱۰ واحد) ثبت می کند.

جهت دستیابی به اهداف نظارتی آلاینده‌های خودروهای سواری و وسایل نقلیه‌ی سبک، مقادیر آلاینده‌های خروجی در حین شبیه‌سازی چرخه‌ی رانندگی شهری متعارف (مانند استارت سرد و الگوهای رانندگی غیریکنواخت) هنگام آزمایش روی شاسی دینامومتر خودرو (کارکرد درجای)، اندازه‌گیری می شوند. اما از آنجایی که هدف این تحقیق، مقایسه‌ی کمی و کیفی آلاینده‌ها در حالات طراحی‌های اولیه (موجود) و بهینه بوده است؛ لذا در حالت کارکرد درجای، به اندازه‌گیری قدرت و گازهای آلاینده خروجی از اگزووز، پرداخته شده است.

نحوی انجام آزمایش‌ها

برای انجام هر آزمایش، ابتدا میکسر اولیه بر روی کیت

۳- در حالت سوم با افزایش اندازه‌ی d همگنی اختلاط نسبت به حالت قبل کاهش یافته، ولی نسبت به میکسر اولیه بهتر می باشد.

۴- در حالت چهارم با کاهش قطر و تصوری و مکش بیشتر گاز، تعداد سوراخ‌های ورودی گاز کاهش می باشد. در این حالت نیز میزان نفوذ گاز نسبت به میکسر اولیه بهتر شده است.

در ادامه، میکسرهای فوق، مورد تست‌های قدرت و آلودگی و نیز عملکرد حرکت در جاده قرار گرفته‌اند.

تست میکسرهای ساخته شده

میکسر اولیه به همراه میکسرهای ساخته شده جهت تأیید نتایج تصوری حاصل از شبیه‌سازی، تحت آزمایش‌های زیر قرار گرفته‌اند:

۱- تعیین قدرت موتور و گشتاور وارد شده بر چرخ‌های محرک توسط شاسی دینامومتر (Dynamometer)

۲- سنجش میزان گازهای خروجی از اگزووز توسط دستگاه تحلیل گر آلودگی خودرو (Automotive Emission Analyzer)

۳- کیفیت روشن شدن موتور در حالت کارکرد درجای و دور موتور در آن حالت،

۴- شتاب اولیه خودرو،

۵- شتاب متوسط با محاسبه‌ی زمان رسیدن سرعت از صفر تا 100km/hr در جاده،

۶- توقف سریع و ناگهانی خودروی در حالت سرعت (به منظور روشن ماندن موتور).

آزمایشگاه

محل انجام آزمایشات، آزمایشگاه شاسی دینامومتر شرکت الکتروفن واقع در شهرستان قم می باشد. این شرکت از پیمانکاران اصلی تبدیل ناوگان سازمان بهینه سازی مصرف سوخت کشور بوده و دارای آزمایشگاه‌ها و تجهیزات مجده و مرجع در این زمینه

اولیه‌ی خودرو، باید ضمن حفظ کارکرد پیوسته و مناسب موتور، مشکلی به لحاظ کیفیت حرکت اولیه‌ی سریع به وجود نیاید.

برای تست در جاده و بررسی عملکرد کیفی موتور در هر حالت، زمان رسیدن سرعت خودرو از حالت سکون تا رسیدن به سرعت ۱۰۰km/hr توسط کرونومتر (ChroNOMeter) اندازه‌گیری شده است. آزمایش‌های ۱ و ۲ نشان دهنده‌ی صحت تحلیل تئوری، و موارد ۳ تا ۶ مربوط به تست‌های کیفی و آنچه که در راندن خودرو مدنظر است، می‌باشند.

بحث و بررسی داده‌های حاصل از تست میکسرها

تست خودرو بر روی شاسی دینامومتر. در ابتدا خودرو بدون میکسر مورد تست واقع شده است. این حالت به منظور سنجش قدرت موتور در حالت استفاده از سوخت بنزین (حالت مینا) انجام شده است؛ سپس میکسرهای مختلف، مورد تست قدرت موتور قرار گرفته شده‌اند. (جدول ۴)

تبديل نصب شده و سپس خودرو برای کارکرد مناسب در حالت درجا تنظیم شده است. داده‌های حاصل از آزمایش میکسر اولیه به عنوان مبنای مقایسه طراحی‌های بعدی می‌باشد.

به منظور آزمایش تعیین قدرت موتور و گشتاور وارد شده بر چرخ‌های محرک از شاسی دینامومتر استفاده شده است. این دستگاه شامل چهار عدد استوانه‌ای چرخ‌نده با سطح زبر می‌باشد که چرخ‌های محرک خودرو بر روی آن قرار می‌گیرند. سپس برای انجام آزمایش، بایستی سرعت خودرو در حالت دنده سبک (دنده ۴) به ۷۰km/hr برسد. از این سرعت به بعد داده برداری از آزمایش توسط نرم‌افزار موتور اسکن (Motor Scan) روی نمایشگر کامپیوتر متصل به شاسی آغاز می‌شود.

منظور از کیفیت روشن شدن موتور در حالت ساکن این است که هنگام استفاده از سوخت گاز، موتور همانند حالت استفاده از سوخت بنزین توانایی روشن شدن را داشته باشد که این علامتی از سوخت‌رسانی مناسب گاز و نیز نسبت کافی هوا به سوخت در حالت بی‌بار می‌باشد. در هنگام شتاب

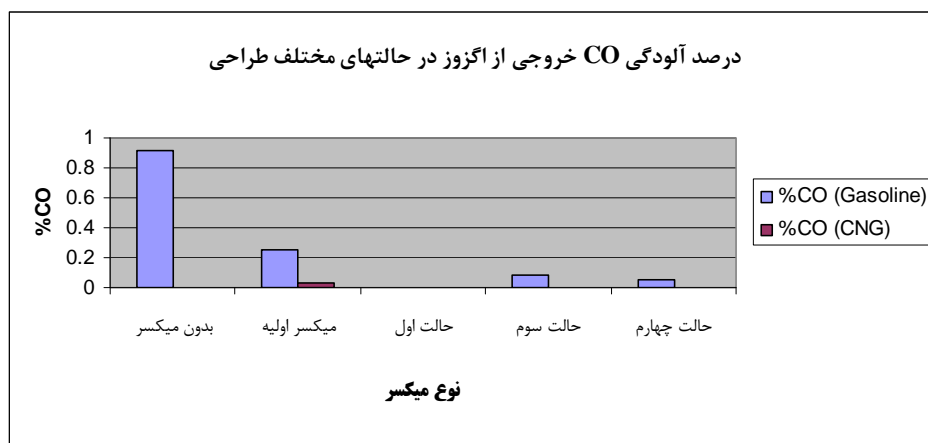
جدول ۴ مقادیر قدرت موتور (kw) در حالت‌های مختلف به همراه درصد افت قدرت حالت گازسوز نسبت به بنزینی در کارکرد درجا

وضعیت	بدون میکسر	میکسر اولیه				حالت ۱				حالت ۳				حالت ۴			
		سرعت (km/h)	بنزین (kw)	بنزین (kw)	گاز (kw)	% افت قدرت											
۷۰	۲۱	۲۰	۱۶	۲۰/۰۰	۲۱	۱۸	۱۴/۲۹	۲۱	۱۷	۱۹/۰۵	۲۱	۱۸	۱۴/۲۹				
۸۰	۲۵	۲۳	۱۹	۱۷/۳۹	۲۳	۲۱	۸/۷۰	۲۴	۲۰	۱۶/۶۷	۲۴	۲۰	۱۶/۶۷				
۹۰	۲۸	۲۷	۲۱	۲۲/۲۲	۲۵	۲۲	۱۲/۰۰	۲۶	۲۲	۱۵/۳۸	۲۶	۲۳	۱۱/۵۴				
۱۰۰	۳۰	۲۷	۲۲	۱۸/۵۲	۲۸	۲۴	۱۴/۲۹	۲۷	۲۵	۷/۴۱	۲۸	۲۳	۱۷/۸۶				
۱۱۰	۳۰	۲۹	۲۷	۶/۹۰	۳۰	۲۶	۱۳/۳۳	۲۸	۲۵	۱۰/۷۱	۲۹	۲۵	۱۳/۷۹				
۱۲۰	۳۰	۳۰	۲۴	۲۰/۰۰	۳۰	۲۷	۱۰/۰۰	۲۹	۲۵	۱۳/۷۹	۳۰	۲۵	۱۶/۶۷				
میانگین افت قدرت				۱۷/۵			۱۲/۱			۱۳/۸۴			۱۵/۱۳				

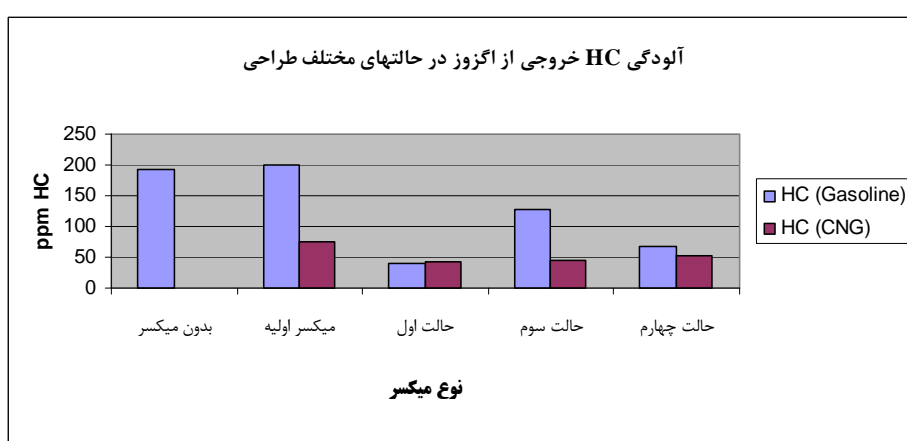
داده‌های حاصل از تست خودرو توسط دستگاه تحلیل گر آلودگی خودرو مقادیر گازهای خروجی از اگزووز خودرو در حالت کارکرد درجا و با توجه به نوع سوخت مصرفی موتور به شرح جدول (۵) و شکل‌های (۱۱ تا ۱۳) می‌باشد.

جدول ۵ مقادیر گازهای خروجی از اگزووز در کارکرد درجا

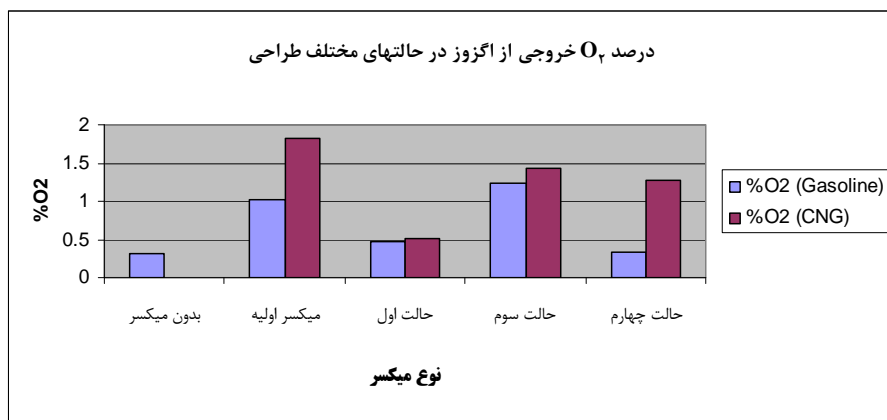
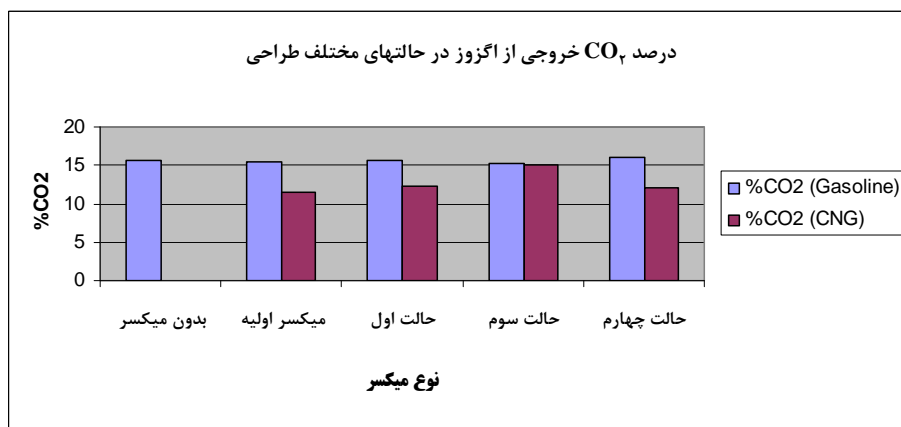
وضعیت	%CO		HC (ppm)		%CO _r		%O _r	
	بنزین	گاز	بنزین	گاز	بنزین	گاز	بنزین	گاز
بدون میکسر	۰/۹۲	-----	۱۹۲	-----	۱۵/۷۰	-----	۰/۳۱	-----
میکسر اولیه	۰/۲۵	۰/۰۳	۱۹۹	۷۶	۱۵/۴۰	۱۱/۵۰	۱/۰۲	۱/۸۳
حالت اول	۰/۰۰	۰/۰۰	۴۰	۴۲	۱۵/۷۰	۱۲/۲۰	۰/۴۷	۰/۵۱
حالت سوم	۰/۰۸	۰/۰۰	۱۲۷	۴۵	۱۵/۳۰	۱۵	۱/۲۴	۱/۴۳
حالت چهارم	۰/۰۵	۰/۰۰	۷۷	۵۲	۱۶	۱۲	۰/۳۴	۱/۲۷



شکل ۱۱ نمودار درصد آلاینده CO خروجی از اگزووز بر حسب نوع میکسر در کارکرد درجا



شکل ۱۲ نمودار ppm آلاینده HC خروجی از اگزووز بر حسب نوع میکسر در کارکرد درجا

شکل ۱۳ نمودار درصد گاز O_2 خروجی از اگزووز بر حسب نوع میکسر در کارکرد درجاشکل ۱۴ نمودار درصد گاز CO_2 خروجی از اگزووز بر حسب نوع میکسر در کارکرد درجا

جدول ۶ نتایج حاصل از تست میکسرها در جاده

ردیف:	میکسر اولیه (ارزیابی کیفی)	شتاب اولیه (ارزیابی کیفی)	بیشینه سرعت در پیمایش طول مشخص (km/hr)	زمان رسیدن به سرعت 100 km/hr بیشینه (s)	شتاب متوسط (\bar{a}) (m/s ²) تا 100	تغییرات شتاب متوسط (نسبت به میکسر اولیه)	دور موتور در حالت ساکن (rpm)
۱	میکسر اولیه	خوب	۱۰۰	۴۲/۱۲	۰/۶۶	۰	۱۰۰
۲	حالت ۱	خوب	۱۰۰	۵۶/۲۳	۰/۴۹	-٪/۲۵/۷۶	۹۵۰
۳	حالت ۲	ضعیف	----	----	----	----	۸۵۰
۴	حالت ۳	عالی	۱۲۰	۳۵	۰/۷۹	٪/۱۹/۷۰	۱۰۰
۵	حالت ۴	بسیار خوب	۹۰	۴۰	۰/۶۳	-٪/۴/۵۴	۵۰۰

اتفاق می‌افتد، صورت می‌پذیرد. جدول (۶) نتایج حاصل از تست جاده میکسرهای مورد بحث را نمایش می‌دهد.

داده‌های حاصل از تست جاده و قابلیت حرکت خودرو. پس از انجام مراحل مختلف تست در آزمایشگاه، تست جاده و بررسی آنچه که واقعاً در عمل

خر裘ی (CO و HC) مربوط به حالتی است که میکسر ۱ به کار برده شده است. در رابطه با میزان CO₂ باقیستی به این مطلب اشاره کرد که هرچه میزان این گاز در خروجی بیشتر باشد، به منزله احتراقی کامل تر و عملکرد نزدیکتر به حالت استوکیومتری است و در مقابل میزان آلاینده CO در خروجی نشان دهنده احتراق ناقص است. در حالت ۱ آلاینده CO به نزدیک صفر رسیده است.

در بین حالت‌های مختلف طراحی حالت اول میزان CO₂ آن در حالت گازسوز بیشتر از بقیه‌ی حالت‌ها بوده و نشان دهنده نزدیک بودن طراحی به شرایط استوکیومتری است.

در تمام حالت‌های طراحی بهینه، میزان CO در حالت گازسوز به صفر رسیده که حاکی از احتراق کامل تر نسبت به میکسر اولیه می‌باشد. در حالت بنزین سوز نیز میزان CO به حداقل رسیده است؛ بنابراین در بین تمام حالت‌های تست شده، بهترین بهسوزی سوخت، مربوط به حالت میکسر ۱ می‌باشد.

بررسی نتایج تست جاده. ابتدا میکسر مورد کاربرد در کیت تبدیل (میکسر اولیه) مورد تست قرار گرفت تا نتایج حاصل از آن، به عنوان مبنای مقایسه با دیگر حالات در نظر گرفته شود.

در حالت اول، همان‌طور که انتظار می‌رود، به دلیل افزایش قطر سوراخ‌های ورودی گاز و کاهش تعداد آن‌ها، میزان همگنی مخلوط سوخت و هوای کم‌تر شود و بالطبع این عامل، تأثیری بر عملکرد موتور گذاشته و باعث می‌شود شتاب متوسط کاهش یابد. این حالت به کاهش ۲۵٪/۷۶ در شتاب متوسط نسبت به میکسر اولیه رسیده است که نشان دهنده غیرهمگن بودن مخلوط هوای گاز می‌باشد.

میکسر دوم، به دلیل ریزبودن سوراخ‌های ورودی گاز، در شتاب اولیه که پدال گاز به صورت ناگهانی

نتیجه‌گیری

بررسی نتایج تست اندازه‌گیری قدرت موتور. نتایج حاصل از تست قدرت موتور بر روی شاسی دینامومتر در جدول (۴) آورده شده‌اند.

همان‌گونه که نتایج آزمایش خودرو برقی و شاسی دینامومتر نشان می‌دهند، میانگین افت قدرت در حالت کنونی (استفاده از میکسر اولیه) مقداری برابر ۱۷٪ دارد و در عین حالی که رقم بالایی است، اما عددی معمول در میزان افت قدرت در میکسرهای مورد کاربرد است. میانگین افت قدرت در حالت‌های جدید طراحی، همگنی کم‌تر از مقدار اولیه بوده و به لحاظ عددی، حالت اول، کمترین افت قدرت را نسبت به بنزین دارد.

در حالت بار کامل (Full Load) (سرعت ۱۲۰km/hr)، میزان افت قدرت میکسر ۱ به کمترین مقدار، بین میکسرهای مختلف رسیده است (ده درصد). این مقدار برابر مقدار افت استانداردی است که سوخت گاز نسبت به بنزین به لحاظ تنوری دارد.

(ر.ک. بخش ۱-۲ رابطه‌ی ۱-۲)

نتیجه‌ی مهم دیگری که از جدول (۴) به دست می‌آید، این است که میزان قدرت موتور در حالت‌هایی که سوخت بنزین به کار رفته است با یکدیگر تفاوت چندانی نمی‌کنند و نشان دهنده این موضوع است که این نوع میکسر در حالت استفاده از سوخت بنزین، افت قدرت قابل قبولی را نسبت به موتور تک سوخته بنزینی خواهد داشت.

موارد مهم دیگری نیز در انتخاب میکسر مناسب، مؤثر هستند که از آن جمله می‌توان به میزان نشر آلاینده‌ها و نیز کارکرد مناسب خودرو در حال حرکت اشاره کرد.

بررسی نتایج تست اندازه‌گیری گازهای خروجی. از بررسی جدول ۵ و نمودارهای ۱۱ تا ۱۴، این‌گونه نتیجه گرفته می‌شود که کمترین میزان آلاینده‌های

می‌شود. البته عیب این نوع میکسر کم‌تر بودن ماکزیمم سرعت آن نسبت به میکسرهای دیگر است. در این نوع میکسر، کارکرد موتور بسیار خوب و مشابه حالت کارکرد سوخت بنزین است که میان مقدار نسبت هوا به سوخت نسبی در حالت تئوری است؛ اما در دورهای بالا و دنده سبک، به دلیل کم‌تر بودن قطر و نتوری و در نتیجه‌ی آن، کاهش هوا و سرعت از سوخت، قدرت موتور کم‌تر شده و بیشینه سرعت از حالت‌های دیگر کم‌تر می‌باشد (شتاب متوسط کم‌تر). در دنده سبک، شتاب کم‌تر شده و زمان افزایش سرعت (عنوان مثال از ۹۰ به ۹۵٪) زیاد می‌شود؛ بنابراین این طراحی برای کارکرد طبیعی موتور جایی که سرعت در حد معمولی و عملکرد پیوسته و آرام موتور مخصوصاً روشن شدن درجا مشابه حالت بنزینی مدنظر باشد؛ مناسب است. (به عنوان مثال برای اتممیل‌های عمومی و استفاده درون شهری). مزیت عمدۀ این طراحی علاوه بر تنظیم بهتر سوخت و هوا، کم مصرف بودن آن است.

همان‌گونه که پیش از این نیز ذکر شد، طراحی‌های بهینه به چند مورد منتهی می‌شوند که بسته به نوع کاربرد، قابل استفاده هستند؛ البته با توجه به آزمایشات فوق، میکسر^۱ به لحاظ شاخص‌های قدرت و آلودگی در وضعیت بهتری نسبت به حالت‌های دیگر قرار دارد.

فسرده می‌شود، سوخت و رویدی نسبت به هوای ورویدی کم‌تر وارد شده و موتور به اصطلاح خفه می‌کند و خاموش می‌شود؛ بنابراین اگرچه ریز بودن سوراخ‌های ورویدی گاز و تعداد آن‌ها نسبت مستقیم با همگنی مخلوط سوخت و هوا دارد ولی ذکر این نکته لازم است که اندازه‌ی آن نبایستی از یک حدی کم‌تر باشد؛ که با آزمایش و درنظر گرفتن ملاحظات ساخت حداقل اندازه‌ی آن ۱/۵ میلی‌متر تعیین می‌گردد؛ اگرچه کارکرد موتور با افزایش دور بسیار عالی و روان است. این حالت به دلیل نداشتن شتاب اولیه، مورد تست قرار نگرفته است.

مزیت میکسر سوم نسبت به دوم، بزرگ‌تر بودن اندازه‌ی قطر سوراخ‌های ورویدی گاز می‌باشد که باعث برطرف شدن عیب کارکردی حالت قبل شده و شتاب اولیه‌ی آن را بهبود می‌بخشد. در این حالت، بیشینه سرعت به ۱۲۰km/hr در طول پیموده شده‌ی یکسان رسیده و به لحاظ عملکردی و قدرت و شتاب اولیه، نزدیکترین حالت به بنزین است. این حالت به افزایش ۷۰/۱۹٪ در شتاب متوسط نسبت به میکسر اولیه رسیده است که مقدار قابل ملاحظه‌ای است؛ البته در این حالت، همان‌گونه که از نتایج تست اندازه‌گیری قدرت موتور بر می‌آید، در سرعت ۱۰۰km/hr میزان افت قدرت به ۴۱/۷٪ رسیده است که مقدار بسیار مطلوبی است. در این سرعت، میزان قدرت موتور نزدیک به حالت بنزینی است و باعث شده است که در میزان شتاب نیز تأثیر خود را نشان دهد؛ البته دلیل اصلی افزایش شتاب خودرو، هندسه‌ی مناسب‌تر میکسر جهت اختلاط همگن گاز و هوا می‌باشد.

در حالت چهارم؛ حتی زمان توقف اتومبیل، دور موتور پایین‌تر از حالت بنزینی است و این نشان دهنده‌ی نسبت مناسب‌تر هوا به سوخت و رویدی می‌باشد که باعث روشن ماندن موتور در آن دور پایین

مراجع

1. Dulger Z. "Numerical Modeling of Heat Release and Flame Propagation for Methane Fueled Internal Combustion Engines with Hydrogen Addition", PhD thesis, University Of Miami (1991)
2. Yusaf T., Zamri M., "Development of a 3D CFD Model to Investigate the Effect of the Mixing Quality on the CNG-Diesel Engine Performance", COE, UNITEN, 43009 Kajang, Selangor, Malaysia (2000)
3. Talal F. Yusaf, Yuosoff Ali, Abdul Halim Shamsuddin, "CNG Mixer for a Commercial Diesel Engine", *7th Int. Conf. and Exhibition on Natural Gas Vehicles*, Yokohama, Japan, pp. 567-574, (2000)
4. خرم‌فر، فرشید و قادیمی ماهانی، امیرهوشنگ و جهانبخش رفیعی، سعید، "راهکاری برای بهینه سازی افت توان خودروهای دوگانه‌سوز ناشی از استفاده میکسر در حالت بنزین‌سوز"، اولین همایش سوخت جایگزین (CNG) و خودروهای گازسوز، تهران، ص ۷۹-۸۷. (۱۳۸۳).
5. Devarajan A/L RAMASAMY, "Development of a Compressed Natural Gas (CNG) Mixer for a Two Stroke Internal Combustion Engine", M.Sc Dissertation, Dept. Mech. Eng., University Teknologi Malaysia, (2005).